

## 低速度層を含む地盤の波動応答について

広島大学工学部 正員 佐藤誠  
広島大学大学院 学生員。島 宗和

## 1. まえがき

平行多層地盤に対する調和 SV 波入射時の波動応答については、既に著者らが研究、発表して来たが、一般に異地盤に対する場合は、入射角は、高々臨界角程度と考えられる場合が多い。

しかし、たとえば断層等における場合は、地表に対して大きな角度を持つことが考えられ、この場合には、たとえ地表に垂直に入射する波動であっても断層境界に対する極めて大きな入射角となる。

ニニでは、断層のように低速度層を含む地盤に調和 SV 波が大きな任意角度で入射した場合の応答を明らかにするために、地盤内の最大せん断应力  $\tau_{max}$  の応答倍率  $R$  、入射角、波動インピーダンス比、低速度層厚をパラメータとして、その応答特性を考察した。

なお、ニの場合は低速度層の透過側と反射側はともに放射条件を満足するものとしている。

## 2. 解析方法およびモデル

解析に用いた地盤モデルを図-1に示す。ニニでは図中の層 I, II の波動インピーダンスは等しいとし、層厚  $d$  の部分が低速度層、それ以外の層 I, II の波動インピーダンス  $(pc)_1$  はよりも小さいものとしてある。ニニ、層 III の破線は解析上の調和 SV 波の入射位置、層 II 割の破線は通過側の測定位置とし、それより低速度層の境界から解析上用いた調和波の半波長  $\lambda/2$  の距離を定めた。ニニからは  $d/\lambda/2$  により、この位置が影響を受けない距離である。また、平面 SV 波の入射角  $\gamma_0$  は図示のように定め、 $0^\circ \sim 85^\circ$  について計算した。 $\gamma_0 = 33.8^\circ$  の場合は、層 I, III の臨界角である。

以下の解析では、波動インピーダンス  $(pc)_0$  を層 I, II の値、 $(pc)_1$  を層 III の値として低速度層の層性質を二重の比  $(pc)_1/(pc)_0$  で表現し、層厚を入射調和波の半波長との比  $d/\lambda/2$  で表現した。ニニの無次元化パラメータと入射角  $\gamma_0$  を変化させた場合の  $\tau_{max}$  の応答倍率を調べた。なお解析方法は文献(1)に示した方法を用いた。

## 3. 結果および考察

図-2～5 は入射角  $\gamma_0$  が  $0^\circ$ ,  $33.8^\circ$ ,  $45^\circ$ ,  $75^\circ$  の 4 種類の場合の  $\tau_{max}$  の応

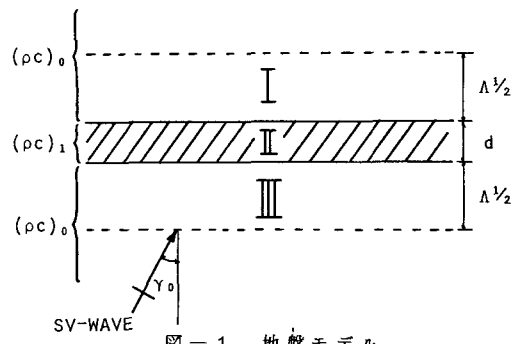
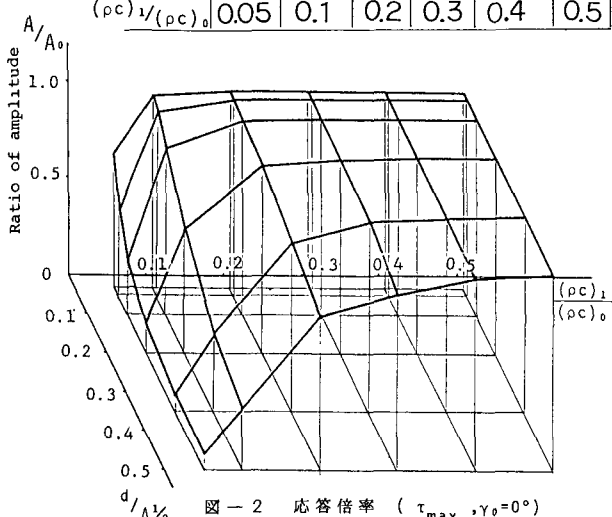


図-1 地盤モデル

表-1  $d/\lambda/2$  と  $(pc)_1/(pc)_0$ 

$d/\lambda/2$	0.03	0.05	0.1	0.2	0.35	0.5
$(pc)_1/(pc)_0$	0.05	0.1	0.2	0.3	0.4	0.5



倍率を示した。 $\gamma = 2^\circ d/\Lambda_{1/2}$ ,  $(P_c)_1/(P_c)_0$  および最大せん断応力の応答倍率  $A/A_0$  を三軸に選ばれ、三次元的に表現した。

$\gamma_0 = 0^\circ$  (垂直入射) の場合、 $(P_c)_1/(P_c)_0 \geq 0.3$  であれば、 $d/\Lambda_{1/2}$  の変化による応答倍率への影響は小さい。また  $d/\Lambda_{1/2}$  が大きくなるにつれて、 $(P_c)_1/(P_c)_0$  の変化による応答倍率への影響が大きくなり、 $(P_c)_1/(P_c)_0 < 0.05$  の時は  $A/A_0 = 0.08$  まで減少する。

次に、図-3 の  $\gamma_0 = 33.8^\circ$  の場合、 $d/\Lambda_{1/2} > 0.1$  の時に  $(P_c)_1/(P_c)_0 > 0.1$  の時は、 $d/\Lambda_{1/2}$  の増加とともに応答倍率も、やや増加するが、 $(P_c)_1/(P_c)_0 < 0.1$  の時は、二者の関係が逆転し、 $d/\Lambda_{1/2}$  の増加に伴い、2つの応答倍率が低下する。両者の関係が逆転する位置が  $(P_c)_1/(P_c)_0 = 0.1$  付近であることを示す。

図-4 の  $\gamma_0 = 45^\circ$  の場合、 $\gamma_0 = 0^\circ$  の場合と全体の応答倍率は一致しているが、応答倍率は、 $\gamma_0 = 45^\circ$  の方がやや大きい。

最後に、図-5 の  $\gamma_0 = 75^\circ$  の場合、 $(P_c)_1/(P_c)_0 \geq 0.3$  のときは、 $d/\Lambda_{1/2}$  の増加とともに応答倍率が減少する。しかし  $(P_c)_1/(P_c)_0 \leq 0.1$  の時は、 $d/\Lambda_{1/2}$  と応答倍率の関係が逆転し、 $(P_c)_1/(P_c)_0 = 0.1$  の時は、応答倍率の変化の傾向は、 $d/\Lambda_{1/2} = 0.2$  を境に、2つのグループに分かれ、 $d/\Lambda_{1/2} \geq 0.2$  のグループの方が応答倍率が高くなる。

これらより、臨界角付近以外の入射角では、 $(P_c)_1/(P_c)_0 < 0.3$  の範囲で  $d/\Lambda_{1/2}$  の増加とともに応答倍率が低下し、また入射角が臨界角付近の場合には、 $(P_c)_1/(P_c)_0 > 0.1$  の時は  $d/\Lambda_{1/2}$  の増加に伴い、2つの応答倍率が 1.0 以上になることがある。

### (参考文献)

- 1) 佐藤 誠: 平行多層地盤に対する調和 SV 波の伝播解析, 工木学会論文報告集, 第32号, 1982年12月, PP55~68

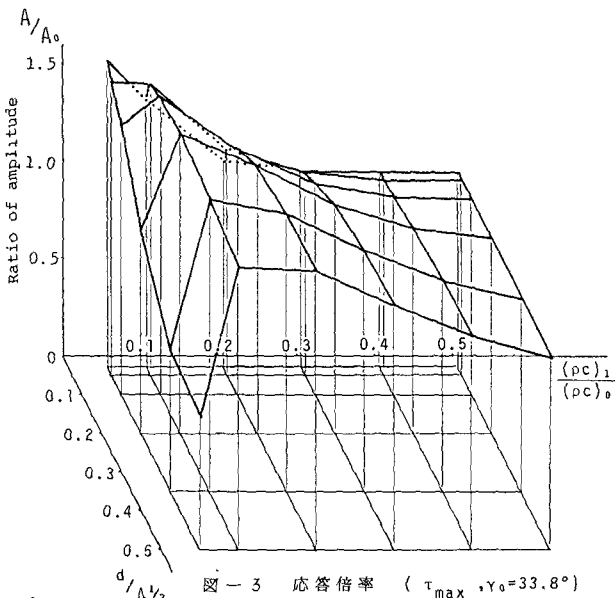


図-3 応答倍率 ( $\tau_{\max}, \gamma_0=33.8^\circ$ )

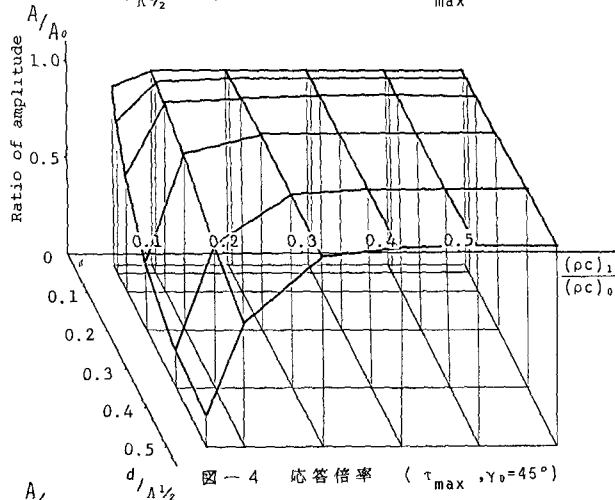


図-4 応答倍率 ( $\tau_{\max}, \gamma_0=45^\circ$ )

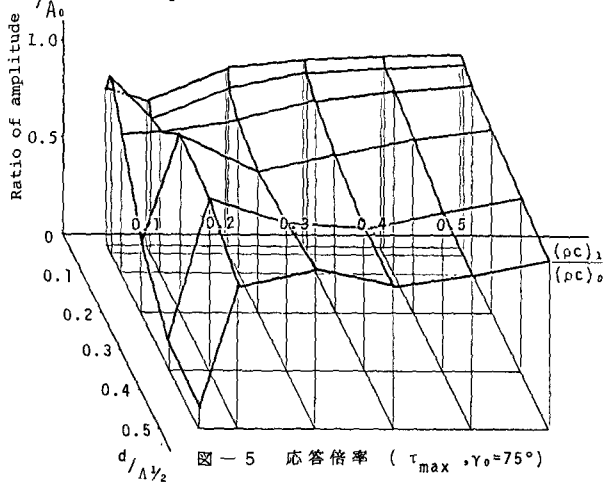


図-5 応答倍率 ( $\tau_{\max}, \gamma_0=75^\circ$ )